

東京工業大学 正 日野 幹雄
 東京工業大学 正 竹内 邦良
 運輸省 正 ○宍戸 達行

1.はじめに

本研究は、各種非定常スペクトルの定義の妥当性を検討し、降水量時系列、地震波に対して適用を試み、それらを通じて、新しい非定常スペクトルの定義を提案しようとするものである。

2.種々の非定常スペクトルの基本的な考え方と定義の妥当性の検討

a. Evolutionary Spectrum (Priestley)

非定常過程には、ワースペクトルが非定常なものと定常なものとの積で表わされる場合があろうという考え方から出発し、ある周波数が卓越しその振幅が時間とともに変化している現象の解析に適切なものである。しかし、直感的な印象を式化したものだけに、数学的に普遍性に欠け、適用範囲も広くない。

b. Instantaneous Spectrum (Page)

スペクトルの持つ物理的な意味（各周波数成分の平均パワーへの寄与率）を現時点に重点をおいて定義し直したもので、瞬間のパワーをその時点でのエネルギー増加率で表わしている。これは現時点までの情報のみを用い、数学的にも整然とした定義であるが、解析された結果が奇跡で現象の理解にはあまり役に立たない。

c. Generalized Spectrum (Bendat & Piersol)

定常確率過程の定義を数学的に非定常にまで拡張したもので、Generalized Spectrumと呼ばれるのがふさわしい。この定義ではスペクトルの計算にあたってはすべての時間領域のデータが必要で予測という観点からは問題がある。定義の中の時刻とは「時刻を中心にしてみると」という程度の意味しかもじれない。

d. Physical Spectrum (Mark)

現時点近傍での各周波数成分の時系列エネルギーへの寄与分という物理的意味をフィルタリングの考え方を用いて式化しており、スペクトルが自然に定義されている。しかしフィルター系操作のためにウインドウ幅より長い周期のものはとうえられず、またウインドウを進める時に仕切り性が入る。

e. Modified Physical Spectrum (Kameda , Sawamoto)

スペクトルを計算する際のフィルター系が振動応答系であることから出力振動をバネ系の運動のように考え、位置エネルギーと運動エネルギーの和として非定常確率過程の瞬間ワースペクトルを定義している。

3.二、三の適用例

ここでは、Moscowの月降水量変動、El Centroの地震加速度に対して、Pageの定義とMarkの定義による非定常スペクトル解析を行なった。その結果が、Fig.1～3である。こ

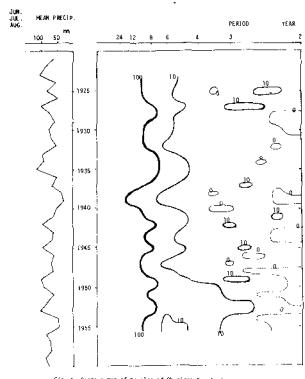


Fig. 1 Contour Map of Envelope of Spectral Spectrum
of Moscow Monthly Precipitation

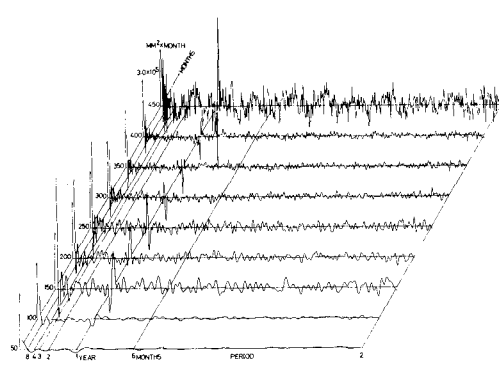


Fig. 2 Spectra of Monthly Precipitations (Moscow, 1921-60)

これらはすべて時間の経過とともに変化するスペクトルを示すが、それがそのまま非定常確率過程の特性を表めぬものではないことに注意せねばならない。

4. 新しい非定常スペクトルの定義の提案

以上の検討や実際の現象への適用結果に対する考察とともに、非定常スペクトルの新しい定義を提案する。

時系列 $x(t)$ に角周波数 ω の波がどれだけ含まれているかを探るために、少なくとも $2\pi/\omega$ の時間間隔が必要である。そこで

$$\tilde{X}_\omega(t) = \frac{1}{\sqrt{2\pi}} \int_{t-\frac{2\pi}{\omega}}^t x(\tau) e^{-i\omega\tau} d\tau$$

のように、各角周波数成分 $\tilde{X}_\omega(t)$ の算出にあたっての範囲をそれぞれの角周波数により異なる区間 $[t - \frac{2\pi}{\omega}, t]$ に採る。この時、各角周波数の波のエネルギーの ensemble 平均は次のようになる。

$$\langle |\tilde{X}_\omega(t)|^2 \rangle = \frac{1}{2\pi} \left\langle \int_{t-\frac{2\pi}{\omega}}^t x(\tau_1) x(\tau_2) e^{-i\omega(\tau_1 - \tau_2)} d\tau_1 d\tau_2 \right\rangle = \frac{1}{2\pi} \int_{t-\frac{2\pi}{\omega}}^t \langle x(\tau_1) x(\tau_2) \rangle e^{i\omega(\tau_1 - \tau_2)} d\tau_1 d\tau_2$$

Page の瞬間パワースペクトルは数学的に厳密に考え、瞬間といつ意味を現時点でのエネルギーの増加率として表わしているが、ここでは、エネルギーが $2\pi m/\omega$ の時間で計算されにものであることを考え、その間の平均エネルギーをパワースペクトルと定義するほうが妥当と考えた。結局、次の式で非定常スペクトルを定義する。

$$\phi(\omega, t) = \frac{\omega}{2\pi m} \langle |\tilde{X}_\omega(t)|^2 \rangle = \frac{\omega}{4\pi^2 m} \int_{t-\frac{2\pi}{\omega}}^t \langle x(\tau_1) x(\tau_2) \rangle e^{i\omega(\tau_1 - \tau_2)} d\tau_1 d\tau_2$$

この新たに提案された非定常スペクトルは、Mark の物理スペクトルと比べると、時系列に乗ずるウィンドウの幅を各成分の角周波数に応じて採っている点が異なり、これにより有効定義域の制限がなくなっている。また Page の瞬間スペクトルと比べると、各周波数成分のエネルギーの増加という物理的意味が数学的にも無理なく表現していると思う。

5. おわりに

本研究で検討、提案された非定常スペクトルの性質を整理し比較したものが右表である。解析の手法としては、「定義的一般性」、「結果の解釈」、「適用範囲」のすべてにおいて満足しうるもののが望まれる。ここで提案するものは、これらの要求に応たうるものと思われる。なお、この方法による適用例は後段に示す予定である。 <参考文献>

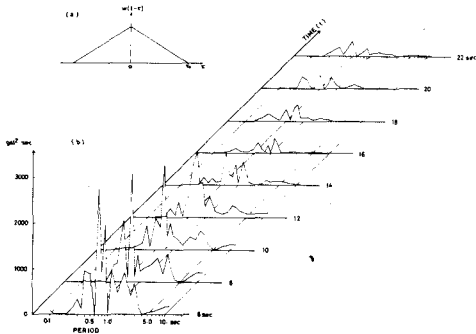


Fig. 3 (a) Time Window and b) Corresponding Physical Spectra of N-S Accelerogram of Imperial Valley Earthquake at El Centro, California in 1940

	定義的一般性	定義法の物理性 數學性	現象の解釈	有効周波数範囲
Priestley - evolutionary spectrum	△	物理的・直感的	○	狭い
Page - instantaneous spectrum	○	物理的意味を拡張し、数学的に定義	×	○
Bendat & Piersol - generalized spectrum	○	数学的拡張	△	○
Mark - Physical spectrum	○	物理的	○	狭い
修正 Physical spectrum	○	物理的	○	狭い
新たに提案する非定常スペクトル	○	物理的	○	○

1. Page, Chester H., Instantaneous Power Spectra, J. Applied Physics, Vol. 23, No. 1, 1952
2. Priestley, M. B., Evolutionary Spectra and Non-Stationary Processes, J. Royal Statistical Society, Ser. B., No. 2, 1965
3. Bendat, Julius S. and Allan G. Piersol, Measurement and Analysis of Random Data (New York: John Wiley, 1966)
4. Mark, W. D., Spectral Analysis of the Convolution and Filtering of Non-stationary Stochastic Processes, J. Sound Vib., Vol. 11, No. 1, 1970.
5. Liu, Shin-Chi, Evolutionary Power Spectral Density of Strong-Motion Earthquakes, Bull. Seismological Society of America, Vol. 60, No. 1970
6. _____, An Approach to Time-Varying Spectral Analysis, Proc. ASCE (EM1), 1972
7. 壱田弘行, 強震地動の非定常パワースペクトルの算出法に関する一考察, 土木学会論文報告集 No. 235, 1975
8. 日野・竹内・宍戸, 非定常確率過程としての水文現象の解析, 第19回水理講演会論文集,